

# SMD-Übungsblatt 5

Abgabe: 22.11.18

Yvonne Kasper yvonne.kasper@udo.edu ,  
Robert Appel robert.appel@udo.edu ,  
Julian Schröer julian.schroer@udo.edu

## 1 Aufgabe1

Die erzeugte HDF5 Datei enthält die Daten für die Energie, und Akzeptanz mit mit der Länge  $10^5$  sowie die Hits, und x-, y-Werte mit einer Länge von etwa 25000, da diese nur auf den akzeptierten Energien berechnet werden. Dabei sind die Werte nicht passend zu den mit *True* markierten Ereignissen. Die Überbleibenden Plätze sind mit *NaN* gefüllt. Beispiel hier: Die Anzahl der Hits in Zeile 0 gehört

	Energy	AcceptanceMask	NumberOfHits	x	y
0	3.118022	False	11.0	4.922748	2.665603
1	1.104789	False	122.0	8.274866	3.854395
2	1.482114	True	74.0	7.224836	3.309602
3	1.074785	False	29.0	6.782956	2.297691

Abbildung 1: Beispiel des DataFrames.

zu der ersten mit *True* gezeichneten Energie, also aus Zeile 3.

### 1.1 Teilaufgabe a)

Um die  $10^5$  Signalereignisse mit der Transformationsmethode zu generieren werden mit

$$E = (1 - x)^{\frac{-1}{1.7}}$$



die Energieereignisse gesamlet. Die dazugehörige Rechnung befindet sich auf dem separat abgegebenen Zettel.

### 1.2 Teilaufgabe b)

Mit dem Neumann'schen Rückweisungsverfahren wurden die tatsächlich detektierten Ereignisse gesamlet. Das Ergebnis ist in Abbildung 2 dargestellt. ✓

### 1.3 Teilaufgabe c)

Die Anzahl der angesprochenen Photomultiplier (Hits) werden aus einer Normalverteilung mit  $\mu = 10E$  und  $\sigma^2 = 2E$  ( $E$  in TeV) gezogen. Dabei gehen nur die Energien der detektierten Ereignisse ein. Dies sind von den Anfangs  $10^5$  Werten noch etwa 25000 Werte.

### 1.4 Teilaufgabe d)

1-

Die Ortsmessung ist Abhängig von der Anzahl an Hits und damit wiederum Energieabhängig. Das Signal trifft am Punkt (7, 3) auf den quadratische Detektor. Für die x- und y-Richtung wird eine Normalverteilung angenommen mit  $\sigma = (\log_{10}(N + 1))^{-1}$ . Das Ergebnis ist in dem 2D-Histogramm 3 aufgetragen. Dabei wurden jeweils 50 Bins in die beiden Richtungen gewählt.

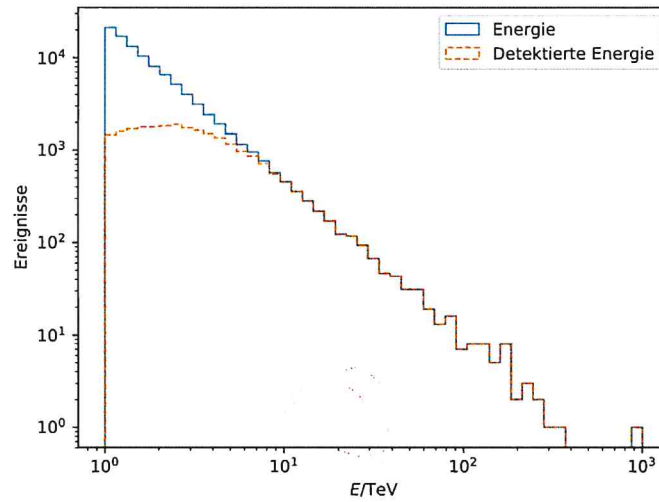
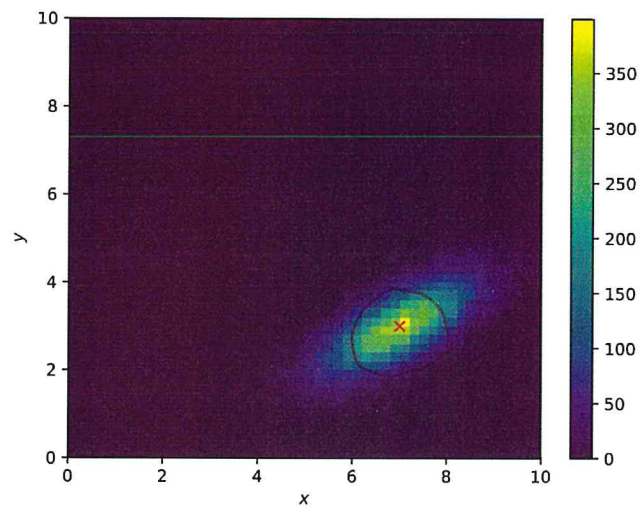


Abbildung 2: Energieereignisse und tatsächlich detektierte Energieereignisse.

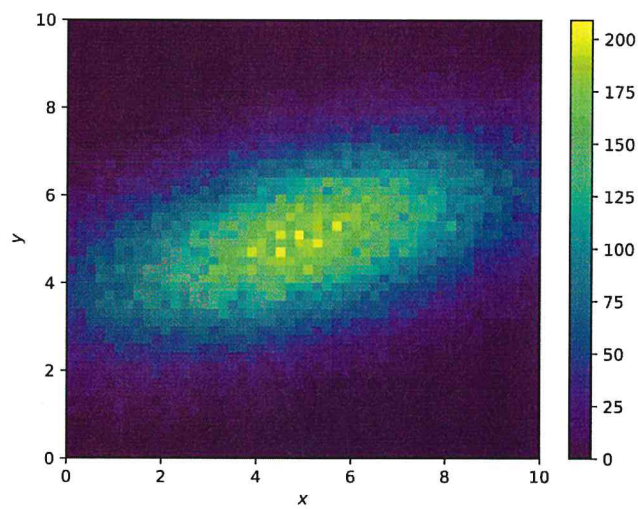
### 1.5 Aufgabenteil e)

Die hier gezeigten Berechnungen sind nur mit  $10^5$  Untergrund-Ereignissen durchgeführt, da die verwendete Funktion für die Ortsauflösung laufzeitmäßig ungünstig geschrieben ist. Mit  $10^7$  Ereignissen würde das Programm ca. 370 Stunden laufen. Leider hatte ich nicht mehr die Zeit die Funktion sinnvoll neu zu schreiben.



*Sollte nicht  
elliptisch sein  
siehe Code*

Abbildung 3: Darstellung der Ortsmessung.



*Das hier stimmt  
auch nicht ganz*

Abbildung 4: Darstellung der Ortsmessung für den Untergrund.

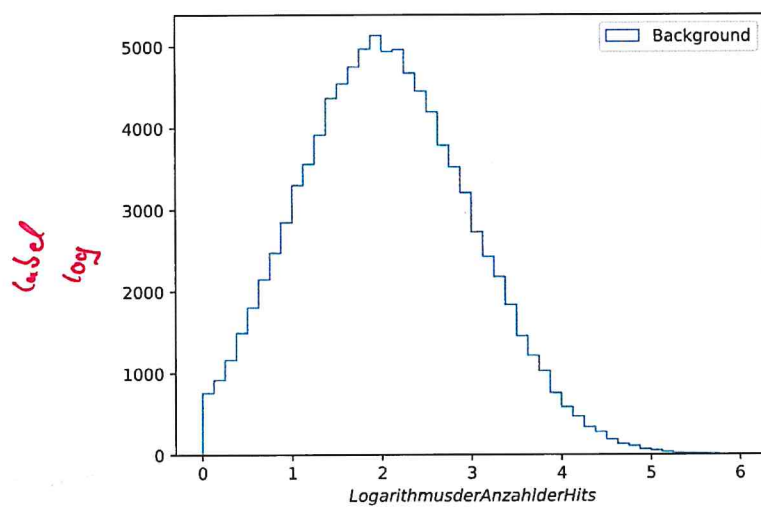


Abbildung 5: Darstellung der Untergrund-Hits.

12/15

## 2 Aufgabe 2

### 2.1 a)

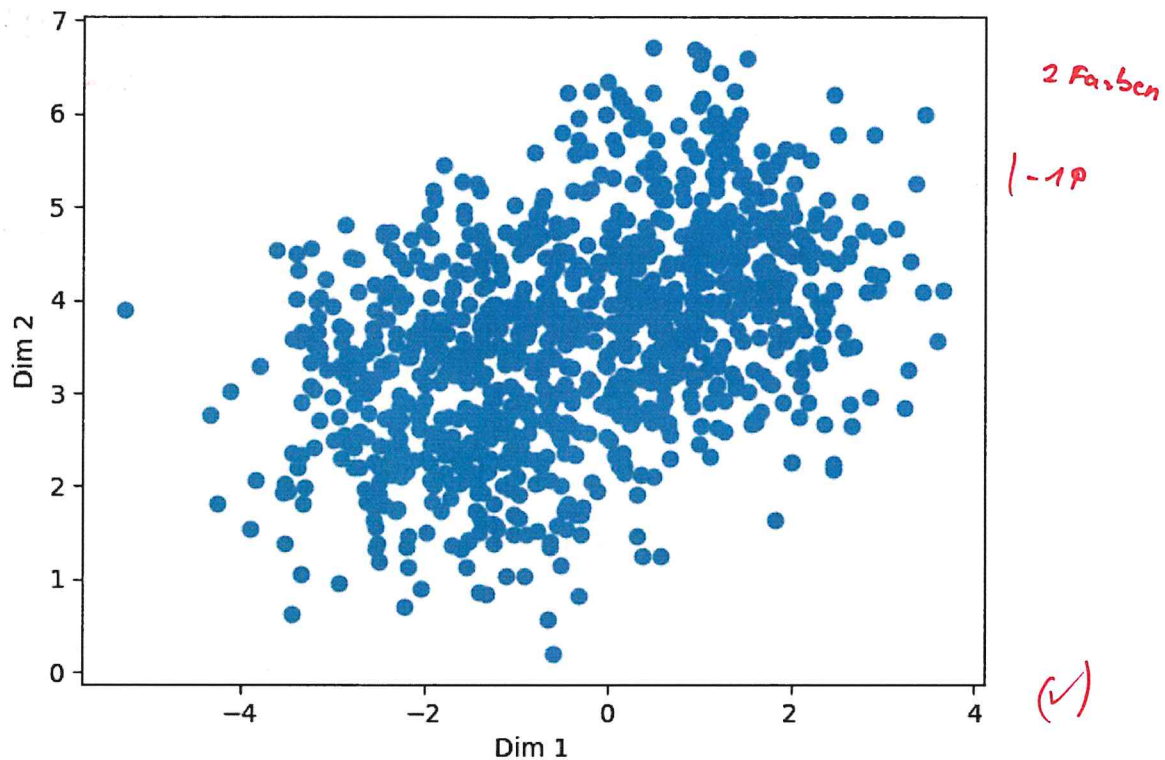


Abbildung 6: Scatterplot vor PCA

### 2.2 b)

Die PCA transformiert  $N$  Datenpunkte mit  $d$  Dimensionen auf  $k < d$  Dimensionen. Dafür werden die Größten Eigenwerte ausgewählt und aus den zugehörigen Eigenvektoren bilden die Transformationsmatrix in die neue Basis. Die gesuchte neue Basis wird so festgelegt, dass die Varianz der Verteilung entlang der Basisvektoren maximiert wird. Reihenfolge:

1. Zentrierung der Daten  $X$  um ihren Mittelwert
2. Bestimmung der Kovarianzmatrix
3. Diagonalisieren der Kovarianzmatrix
4. Sortieren der Eigenwerte in absteigender Reihenfolge.
5. Auswahl der  $k$  größten Eigenwerte und der zugehörigen Eigenvektoren.
6. Bildung einer Matrix, in welcher die Eigenvektoren der  $k$  Ausgewählten Eigenwerte als Spalten stehen.

7. Transformation der Daten  $X' = WX$  mithilfe der neuen Matrix  $W$  um in ihrer Dimension reduzierte Daten zu erhalten.

### 2.3 c)

Nichtsortierte Eigenwerte (mit linalg ausgerechnet):

0.89875061 0.98813673 0.99958442 17.51933024

Der vierte Eigenwert hebt sich deutlich von den anderen drei Eigenwerten ab. *Folgerung?*

### 2.4 d)

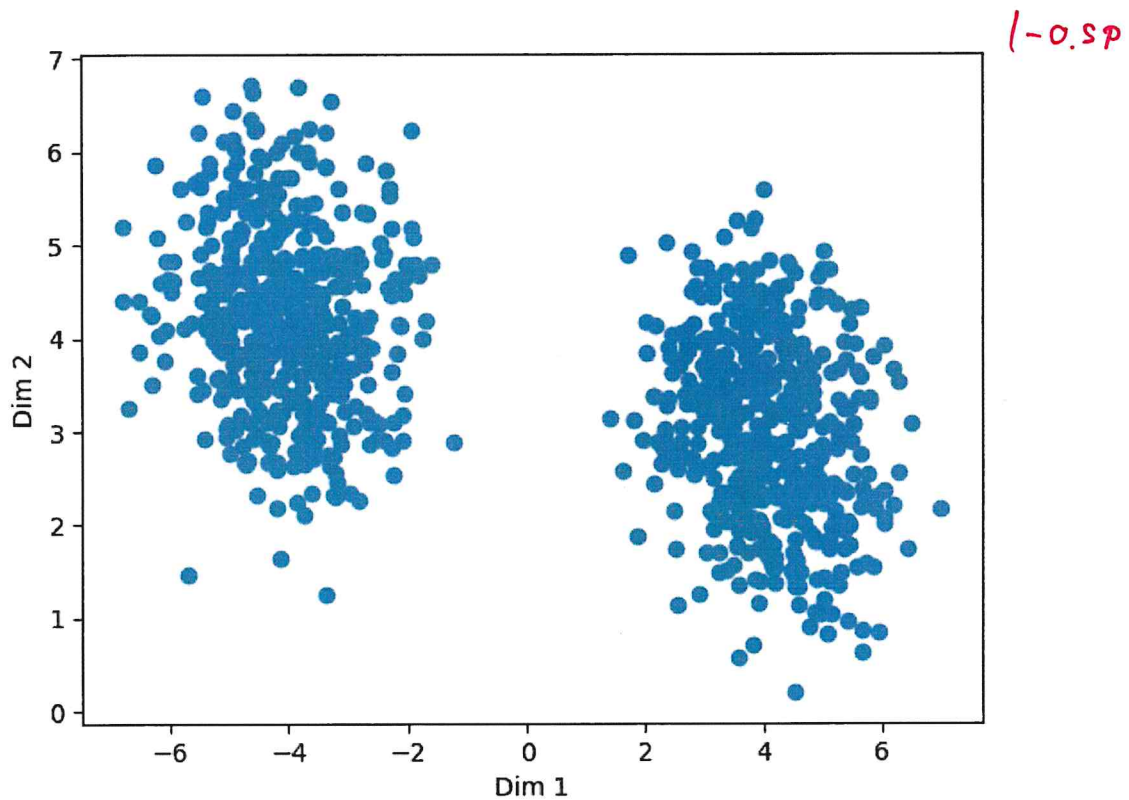


Abbildung 7: Scatterplot nach PCA



2 Farben verwenden

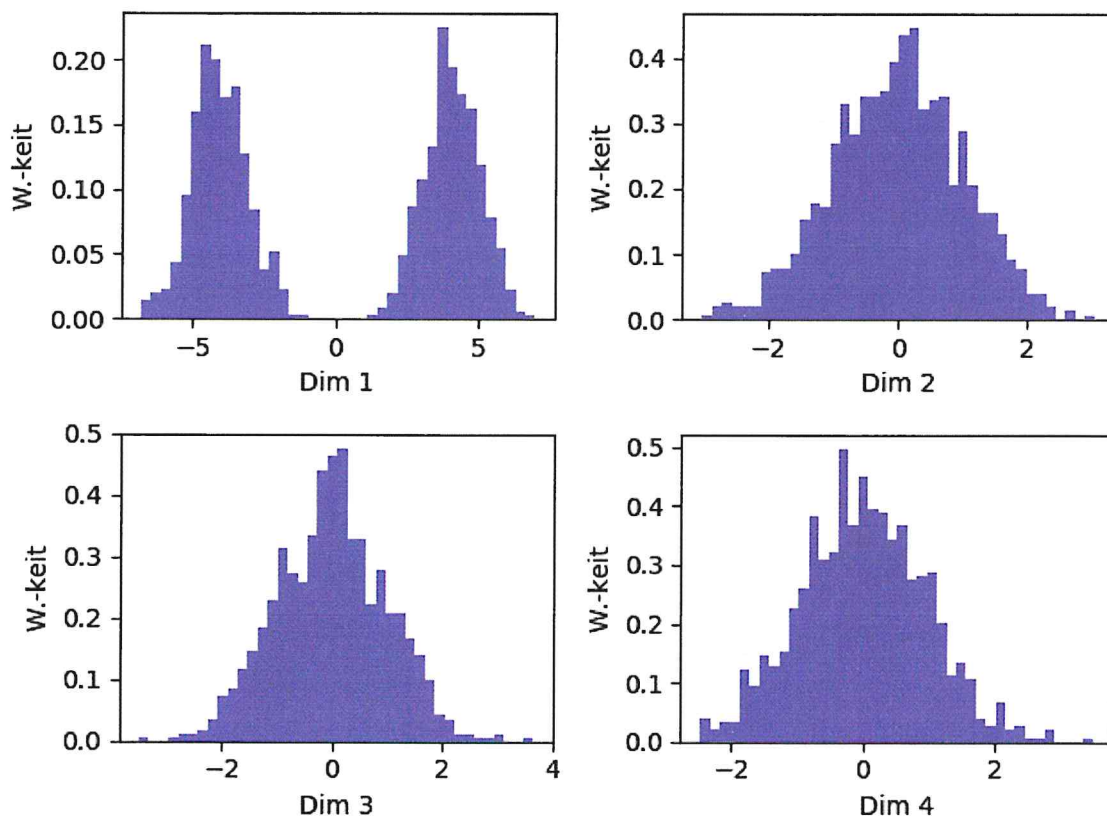


Abbildung 8: Histogramme der verschiedenen Dimensionen

3/s





## Code fuer Blatt05

Kasper, Appel, Schroeder

23. November 2018

```
../B/1/Blatt05_Kasper_Appel_Schroeder/Blatt5.py
```

```
1 def Aufgabel():
2     def Signal(x):
3         return((1-x)**(-(1.0/1.7)))
4
5     def Neutrinofluss(E):
6         return(1.7*(E**(-2.7)))
7
8     def Akzeptanz(E):
9         return((1-np.exp(-0.5*E))**3)
10
11    def HitsSim(E):
12        i = 0
13        x = -1
14        while i == 0:
15            u1 = np.random.uniform(0, 1)
16            u2 = np.random.uniform(0, 1)
17            v1 = 2*u1-1
18            v2 = 2*u2-1
19            s = v1**2+v2**2
20            if (s < 1):
21                term = np.sqrt(-(2/s)*np.log(s))
22                c1 = v1*term
23                c2 = v2*term
24                x = sqrt(2*s*c1+10*E)
25                x = np.round(x)
26                if (x > 0):
27                    i = 1
28        return(x)
29
30    def OrtsSim(N):
31        Treffer = 0
32        while Treffer == 0:
33            u1 = np.random.uniform(0, 1)
34            u2 = np.random.uniform(0, 1)
35            v1 = 2*u1-1
36            v2 = 2*u2-1
37            s = v1**2+v2**2
38            if (s < 1):
39                term = np.sqrt(-(2/s)*np.log(s))
40                sig = 1/(np.log10(N+1))
41                c1 = v1*term
42                c2 = v2*term
43                x = sig*c1+sig*c2+7
44                y = sig*c2+3
45                if (0 <= x <= 10) and (0 <= y <= 10):
46                    Treffer = 1
47        return((x, y))
48
49    def OrtBKG(N):
50        Treffer = 0
51        while Treffer == 0:
52            u1 = np.random.uniform(0, 1)
53            u2 = np.random.uniform(0, 1)
54            v1 = 2*u1-1
55            v2 = 2*u2-1
56            s = v1**2+v2**2
57            if (s < 1):
```

} x, y sind unabhängig

```

58         term = np.sqrt(-(2/s)*np.log(s))
59         sig = 3
60         c1 = v1*term
61         c2 = v2*term
62         x = np.sqrt(0.75)*sig*c1+0.5*sig*c2+5
63         y = 0.5*sig*c2+5
64         if (0 <= x <= 10) and (0 <= y <= 10):
65             Treffer = 1
66         return((x, y))
67
68     # Aufgabenteil a)
69     Esize = 100000
70     x = np.random.uniform(0, 1, Esize)
71     Energie = np.empty(Esize)
72     Energie = Signal(x)
73
74     df = pd.DataFrame()
75     # Ein DataFrame für die Energiemessung und für die AcceptanceMask da diese gleich lang sind
76     df['Energy'] = Energie[0:]
77     # Aufgabenteil b)
78     x2 = np.random.uniform(0, 1, Esize)
79     Detektiert = np.zeros(Esize, dtype=bool)
80
81     for i in np.arange(0, Esize):
82         if x2[i] < Akzeptanz(Energie[i]):
83             Detektiert[i] = True
84
85     DetEnergie = Energie[Detektiert]
86     plt.hist(Energie, bins=np.logspace(0, 3), histtype='step',
87             label='Energie')
88     plt.hist(DetEnergie, bins=np.logspace(0, 3), histtype='step', linestyle='—',
89             label='Detektierte Energie')
90     plt.loglog()
91     plt.legend()
92     plt.xlabel(r'$E/\mathrm{TeV}$')
93     plt.ylabel(r'Ereignisse')
94     plt.savefig('Energie.pdf')
95     plt.clf()
96     print(len(DetEnergie))
97     df['AcceptanceMask'] = Detektiert[0:]
98     # Aufgabenteil c)
99     Hits = np.zeros(len(DetEnergie), dtype=int)
100    for j in np.arange(0, len(DetEnergie)):
101        Hits[j] = HitsSim(DetEnergie[j])
102    plt.hist(Hits, bins=50, range=[0, 100], histtype='step')
103    plt.xlabel(r'$Anzahl der Hits$')
104    plt.savefig('Hits.pdf')
105    plt.clf()
106    df2 = pd.DataFrame()
107    # Ein weiteres DataFrame da die weiteren Daten nur auf den akzeptierten Energien
108    # berechnet werden.
109    df2['NumberOfHits'] = Hits[0:]
110    # Aufgabenteil d)
111
112    Ort = np.zeros((len(DetEnergie), 2))
113    for k in np.arange(0, len(DetEnergie)):
114        Ort[k:] = OrtsSim(Hits[k])
115
116    plt.hist2d(Ort[:, 0], Ort[:, 1], bins=[50, 50],
117             range=[[0, 10], [0, 10]], cmap='viridis')
118    plt.plot(7, 3, 'rx')
119    plt.colorbar()
120    plt.xlabel(r'$x$')
121    plt.ylabel(r'$y$')
122    plt.savefig('Ort.pdf')
123    plt.clf()
124    df2['x'] = Ort[:, 0]
125    df2['y'] = Ort[:, 1]
126
127    # Aufgabenteil e)
128

```

```

129 BKGSize = 100000
130 mu = 2
131 sigma = 1
132 log10_N_BKG = np.random.normal(mu, sigma, BKGSize)
133 N_BKG = 10**log10_N_BKG
134 Ort_BKG = np.zeros((BKGSize, 2))
135
136 for l in tqdm(np.arange(0, BKGSize)):
137     Ort_BKG[l:] = OrtBKG(N_BKG[l])
138
139 df_BKG = pd.DataFrame()
140 df_BKG['NumberOfHits'] = N_BKG[0:]
141 df_BKG['x'] = Ort_BKG[:, 0]
142 df_BKG['y'] = Ort_BKG[:, 1]
143
144 plt.hist2d(Ort_BKG[:, 0], Ort_BKG[:, 1], bins=[50, 50],
145            range=[[0, 10], [0, 10]], cmap='viridis')
146 plt.colorbar()
147 plt.xlabel(r'$x$')
148 plt.ylabel(r'$y$')
149 plt.savefig('Ort_BKG.pdf')
150 plt.clf()
151
152 plt.hist(log10_N_BKG, bins=48, range=[0, 6], histtype='step',
153          label='Background')
154 plt.legend()
155 plt.xlabel(r'$\text{Logarithmus der Anzahl der Hits}$')
156 plt.savefig('Hits_BKG.pdf')
157 plt.clf()
158 dfSignal = pd.concat([df, df2], axis=1)
159 dfSignal.to_hdf('NeutrinoMC.hdf5', key='Energy')
160 df_BKG.to_hdf('NeutrinoMC.hdf5', key='Background')
161
162
163 def Aufgabe2():
164     # a)
165     samples, labels = make_blobs(n_samples=1000, centers=2, n_features=4, random_state=0)
166     samples_x = samples[:, 0]
167     samples_y = samples[:, 1]
168     plt.scatter(samples[:, 0], samples[:, 1])
169     plt.xlabel('Dim 1')
170     plt.ylabel('Dim 2')
171     plt.savefig('scatterplot_a.png')
172     plt.clf()
173     # c)
174     # Zentrieren um Mittelwert
175     mean = np.mean(samples)
176     samples_zentriert = samples - mean
177
178     # Analyse
179     pca = PCA()
180     pca.fit(samples_zentriert)
181     samples_pca = pca.transform(samples_zentriert)
182
183     covariance = pca.get_covariance()
184     print(covariance)
185     eigenval, eigenvec = linalg.eigh(covariance) # eigh diagonalisiert mir die covariance matrix
186     print('Nicht sortierte Eigenwerte:')
187     print(eigenval)
188
189     # d)
190
191     # scatterplot
192     plt.scatter(samples_pca[:, 0], samples[:, 1])
193     plt.xlabel('Dim 1')
194     plt.ylabel('Dim 2')
195     plt.savefig('scatterplot_d.png')
196     plt.clf()
197     # histogram
198     plt.subplot(2, 2, 1)
199     plt.hist(samples_pca[:, 0], color='b', density=True, bins=40, label='Dim 1', alpha=0.6)

```

```

200 plt.xlabel('Dim 1')
201 plt.ylabel('W.-keit')
202 plt.tight_layout()
203
204 plt.subplot(2, 2, 2)
205 plt.hist(samples_pca[:, 1], color='b', density=True, bins=40, label='Dim 2', alpha=0.6)
206 plt.xlabel('Dim 2')
207 plt.ylabel('W.-keit')
208 plt.tight_layout()
209
210 plt.subplot(2, 2, 3)
211 plt.hist(samples_pca[:, 2], color='b', density=True, bins=40, label='Dim 3', alpha=0.6)
212 plt.xlabel('Dim 3')
213 plt.ylabel('W.-keit')
214 plt.tight_layout()
215
216 plt.subplot(2, 2, 4)
217 plt.hist(samples_pca[:, 3], color='b', density=True, bins=40, label='Dim 4', alpha=0.6)
218 plt.xlabel('Dim 4')
219 plt.ylabel('W.-keit')
220 plt.tight_layout()
221 plt.savefig('histogrammi.png')
222
223
224 if __name__ == '__main__':
225     from sklearn.datasets import make_blobs
226     import matplotlib.pyplot as plt
227     from sklearn.decomposition import PCA
228     import numpy as np
229     import pandas as pd
230     from tqdm import tqdm
231     from scipy import linalg
232
233     Aufgabel()
234     Aufgabe2()

```



# Aufgabe 13

SMO Blatt 5 (Übung bei Simon & Alicia)

Yvonne Kasper  
Robert Appel  
Julian Schröder

a) Neutrinofluss:  $\phi = \phi_0 \left( \frac{E}{\text{TeV}} \right)^{-\gamma}$

$$E_{\min} = 1 \text{ TeV}, E_{\max} = \infty$$

$$A = \int_{E_{\min}=1 \text{ TeV}}^{\infty} \phi_0 \left( \frac{E}{\text{TeV}} \right)^{-\gamma} dE$$

$$= \left[ \frac{\phi_0}{(-\gamma+1)} \left( \frac{E}{\text{TeV}} \right)^{-\gamma+1} \right]_{1 \text{ TeV}}^{\infty}$$

$$= 0 - \frac{\phi_0}{(-\gamma+1)} 1^{-\gamma+1} = \frac{-\phi_0}{(-\gamma+1)}$$

$$A(x) = \int_{E_{\min}=1 \text{ TeV}}^{x \text{ TeV}} \phi_0 \left( \frac{E}{\text{TeV}} \right)^{-\gamma} dE$$

$$= \left[ \frac{\phi_0}{(-\gamma+1)} \left( \frac{E}{\text{TeV}} \right)^{-\gamma+1} \right]_{1 \text{ TeV}}^{x \text{ TeV}}$$

$$= \frac{\phi_0}{(-\gamma+1)} x^{-\gamma+1} - \frac{\phi_0}{(-\gamma+1)} = \frac{-\phi_0}{(-\gamma+1)} (-x^{-\gamma+1} + 1)$$

$$r(x) = \frac{A(x)}{A} = \left( \frac{-\phi_0}{(-\gamma+1)} \right)^{-1} \left( \frac{\phi_0}{(-\gamma+1)} (-x^{-\gamma+1} + 1) \right)$$

$$= -x^{-\gamma+1} + 1 = r$$

$\Rightarrow$  mit spektralem Index  $\gamma = 2.7$

$$\Rightarrow r - 1 = -x^{-1.7}$$

$$\Rightarrow (1 - r)^{-\frac{1}{1.7}} = x //$$





# Hits

$$N(10 \cdot \frac{E}{\text{TeV}}, 2 \cdot \frac{E}{\text{TeV}})$$

Mittelwert

$$10 \frac{E}{\text{TeV}}$$

Standardabweichung

$$2 \frac{E}{\text{TeV}}$$

mit Polarmethode

$$N = \frac{1}{\sqrt{2\pi}\sigma} e^{-\frac{(x-\mu)^2}{2\sigma^2}}$$

$$\sigma = 2$$

$$\mu = 10$$

$$F(r) = 1 - \frac{-(r-\mu)^2}{2\sigma^2}$$

$$\vec{r} = \begin{pmatrix} x \\ y \\ z \end{pmatrix} = \begin{pmatrix} t \\ t \\ t \end{pmatrix} \quad t \in$$

$$s \geq e^{-\frac{(r-\mu)^2}{2\sigma^2}}$$

$$\ln s = -\frac{(r-\mu)^2}{2\sigma^2}$$

$$2\sigma^2 \ln s = -(r-\mu)^2$$

$$\sqrt{-2\sigma^2 \ln s} = r - \mu$$

$$\sqrt{-2\sigma^2 \ln s} + \mu = r$$